

З-362

ОБЪЕДИНЕННЫЙ
ИНСТИТУТ
ЯДЕРНЫХ
ИССЛЕДОВАНИЙ

Дубна

P2 - 3758



ЛИБОРІОРИЯ ТЕОРЕТИЧЕСКОЙ ФІЗИКИ

А.Н. Заславский, В. Тыбор

Е - МЕЗОН И МЕЗОН-БАРИОННОЕ РАССЕЯНИЕ
В НАРУШЕННОЙ $SU_W(6)$ – СИММЕТРИИ

1968

P2 - 3758

А.Н. Заславский, В. Тыбор

2242/3 np.

E - МЕЗОН И МЕЗОН-БАРИОННОЕ РАССЕЯНИЕ
В НАРУШЕННОЙ $SU_W(6)$ - СИММЕТРИИ

Направлено в Acta Physica Polonica

1. В настоящее время имеются два возможных кандидата на место девятого псевдоскалярного мезона: X^0 (960)- и E (1420)-мезоны. Проведенный в /1/ анализ показывает, что нарушенная симметрия $SU_W(6)$ однозначно выбирает E -мезон ^{x)}. Поэтому интересно получить другие характеристики E -мезона. В настоящей работе оценивается частота рождения E -мезона в коллинеарных мезон-барионных столкновениях, т.е. рассматривается процесс рассеяния $35_w + 56_w \rightarrow 35_w + 56_w$. Анализ проводится в рамках нарушенной симметрии $SU_W(6)$, так как точная симметрия резко противоречит эксперименту /2/. Это понятно, поскольку $SU_W(6)$ содержит в качестве подгруппы сильно нарушенную симметрию $SU(3)$. Поэтому только учет нарушений $SU_W(6)$ как в массах (фазовых объемах), так и в матричных элементах может привести к предсказаниям, претендующим на согласие с опытом. Способ нарушения $SU_W(6)$ обсуждается в §2. Он основан на том, что предсказание точной симметрии для отношения магнитных формфакторов протона и нейтрона $G_m^P(q^2)/G_m^n(q^2) = -3/2$ должно остаться и в нарушенной симметрии, а также на том, что в мезон-барионной системе взаимодействие особенно сильно в октетных и декуплетных состояниях. §3 посвящен сводке простейших соотношений между сечениями коллинеарных процессов в нарушенной $SU_W(6)$. Проведенный в §4 анализ показывает, что те из этих соотношений, для которых имеются экспериментальные данные, не противоречат эксперименту.

x)

Спин-четность X^0 -мезона нельзя считать твердо установленной /1/. Кажется даже, что значение 2^- лучше согласуется с экспериментальными данными, чем 0^- .

Поэтому поиск Е-мезона в мезон-барионных столкновениях - благодарная задача, так как в таких процессах он должен рождаться столь же часто, как и η -мезон. Хотя это предсказание, как и остальные, получено для строго коллинеарного случая, мы думаем, что оно не должно существенно измениться при небольших отклонениях от коллинеарности.

2. При изучении нарушенной симметрии $SU_W(6)$ в амплитудах мы исходили из тех шпуринов, которые хорошо работают в применении к массовому оператору $1/1$. Однако учет всех шпуринов дает слишком много амплитуд и поэтому желательно сделать некоторое динамическое предположение, сильно ограничивающее число амплитуд.

Двухчастичная система мезон (35_W) - барион (56_W) может принадлежать к представлениям 56_W , 70_W , 700_W , 1134_W , двухчастичная система мезон-мезон - к представлениям 1, 35, 189, 280, $280'$, 405, а барион-антибарион-к $1,35,405,2695$. Наше предположение состоит в следующем:

во всех каналах s, t, u реализуются только те двухчастичные начальные и конечные состояния, которые принадлежат к (A) минимальным представлениям.

Это предположение основано на двух фактах. Во-первых, в случае электромагнитной вершины предсказание точной симметрии для отношений магнитных формфакторов протона и нейтрона $G_m^P/G_m^n = 3/2$ остается и в нарушенной симметрии, только если фотон (принадлежащий к представлению $35_W^{1/3}$) и нуклон находятся вместе в представлении 56_W , т.е. низшем из возможных.

Во-вторых, в мезон-барионных взаимодействиях доминируют октетные и декуплетные переходы. Так как нас интересует процесс $35_W + 56_W \rightarrow 35_W + 56_W$, то в s -канале этой реакции необходимы переходы $56'_W \rightarrow 56'_W$ и $56'_W \rightarrow 56'_W$ (x). Тогда для обеспечения кроссинг-симметрии при $s \leftrightarrow u$ нужно прибавить переход $56'_W \rightarrow 56'_W$ в u -канале. Кроме того, для упругих процессов необходим обмен полюсом Померанчука. Этому соответствует переход $1' \rightarrow 1'$ в t -канале. Заметим, что переход $56'_W \rightarrow 56'_W$ в u -канале

(x) Штрих означает, что это - двухчастичные состояния, а не 56 - плет барионов ($S = \frac{1+}{2}, \frac{3+}{2}$). Это представление содержит состояния $W = \frac{1}{2}, \frac{3}{2}$, но значения S обычного спина не фиксируются.

нале, а также $1' \rightarrow 1'$ в t -канале, соответствуют высшим ($70'_W \rightarrow 70'_W$ и т.д.) переходам в s -канале, которые можно считать поправочными амплитудами к "56 - доминантности". Итак, полная амплитуда процесса будет суммой трех переходов: $1' \rightarrow 1'$ в t канале и $56'_W \rightarrow 56'_W$ в s - и u -каналах, в соответствии с (A). При этом оказывается, что число амплитуд действительно уменьшается, например, в случае точной симметрии с 4-х до 3-х: $A, B+2D, \bar{B}+2D$ в обозначениях работы ^{4/}.

Перейдем к описанию рецепта построения амплитуд мезон-барионного рассеяния в нарушенной $SU_W(6)$. Рассмотрим более подробно переход $56'_W \rightarrow 56'_W$, например, в s -канале. С формальной точки зрения матричный элемент этого перехода аналогичен массовому члену для 56-плета барионов, который в случае нарушенной симметрии имеет простой вид

$$A + a [T'(T'+1) - \frac{Y'^2}{4}] + b W'(W'+1) + c Y', \quad \{ W', T', Y' \} = \beta' -$$

- квантовые числа состояний из $56'_W$ -плета. Поскольку в реакции участвуют 56-плет барионов ($1/2^+, 3/2^+$) и 35-плет мезонов ($0^-, 1^-$), то этот матричный элемент записывается в терминах квантовых чисел частиц до (α, β) и после (γ, δ) рассеяния в виде

$$\begin{aligned} \Sigma <\{35_W\}\gamma; \{56_W\}\delta | \{56'_W\}\beta'> (A + a[T'(T'+1) - \frac{Y'^2}{4}] + \\ & \beta') + \\ & + b W'(W'+1) + c Y') <\{56'_W\}\beta' | \{35_W\}\alpha; \{56_W\}\beta>, \end{aligned}$$

где $\langle \{56'_W\}\beta' | \{35_W\}\alpha; \{56_W\}\beta \rangle$ - коэффициенты Клебша-Гордана.

Аналогично переход синглет-синглет в t -канале можно формально считать массовым членом 1-плета. Соответствующий этому переходу вклад в полную амплитуду есть

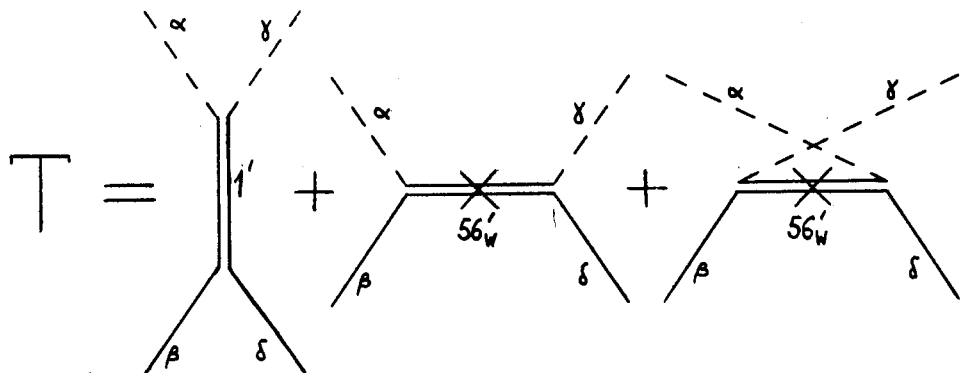
$$P <\{35_W\}\alpha; \{\overline{35}_W\}\bar{\gamma} | \{1\}> <\{1\} | \{56_W\}\beta; \{\overline{56}_W\}\delta>.$$

Таким образом, исходя из динамического предположения (A), амплитуду рассеяния 35_W - плета мезонов на 56_W - плете барионов можем записать в виде:

$$\begin{aligned}
 T = & P \langle \{35\} \alpha ; \{ \bar{35} \} \gamma | \{ 1 \} \rangle \langle \{ 1 \} | \{ 56 \} \beta, \{ \bar{56} \} \delta \rangle + \\
 & + \sum_{\beta'} \langle \{35\} \gamma ; \{ 56 \} \delta | \{ 56' \} \beta' \rangle (A + a [T'(T'+1) - \frac{Y'^2}{4}] + \\
 & + b W' (W'+1) + c Y') \langle \{ 56' \} \beta' | \{ 35 \} \alpha ; \{ 56 \} \beta \rangle + \\
 & + \sum_{\beta'} \langle \{ 56 \} \delta | \{ 35 \} \alpha ; \{ 56' \} \beta' \rangle (\bar{A} + \bar{a} [T'(T'+1) - \frac{Y'^2}{4}] + \\
 & + \bar{b} W' (W'+1) + \bar{c} Y') \langle \{ 35 \} \gamma ; \{ 56' \} \beta' | \{ 56 \} \beta \rangle,
 \end{aligned} \tag{B}$$

где амплитуды $P, A, \bar{A}, a, \bar{a}, b, \bar{b}, c, \bar{c}$ являются функциями мандельстамовских переменных s, t, u . Амплитудам точной симметрии $A, \bar{A}, B+2D, \bar{B}+2D$ из $1/4$ соответствуют P, A, \bar{A}, \dots .

Символически амплитуду T можно представить при помощи диаграмм:



где кресты означают нарушения.

Сформулированный выше рецепт (B) можно применить также к процессам фоторождения. Следуя /3/, будем считать, что фотон преобразуется как $1 - 1$ компонента октета со спиральностью ± 1 , т.е. как $\sqrt{3} \rho^0_{+1} + \phi^0_{+1}$ или $\sqrt{3} \rho^0_{-1} + \phi^0_{-1}$.

3. Рецепт (В) позволяет легко получать амплитуды рассеяния 35- π -плета мезонов на 56 - плете барионов в нарушенной коллинеарной группе SU_6 . Перед тем как выписывать соотношения нарушенной симметрии, приведем одно соотношение из точной SU_6 , получающееся в рамках динамического предположения (А). Для полных сечений на протоне, кроме известных соотношений Джонсона-Тримана, имеем еще одно

$$3[\sigma_T(\pi^+) + \sigma_T(\pi^-)] + 13[\sigma_T(K^0) + \sigma_T(\bar{K}^0)] = 16[\sigma_T(K^+) + \sigma_T(K^-)]. \quad (1)$$

Оно выполняется с той же точностью, что и соотношения Джонсона-Тримана для энергий выше 1 Гэв и так же сильно противоречит опыту в резонансной области энергий.

В нарушенной симметрии амплитуда (В) приводит к двум типам соотношений для коллинеарных процессов. Приведем только простейшие примеры.

а. Соотношения, не содержащие спиновой матрицы плотности

$$\frac{F \frac{d\sigma}{d\Omega} (\pi^+ p \rightarrow E N^{*++})}{F \frac{d\sigma}{d\Omega} (\pi^+ p \rightarrow \eta N^{*++})} = \left[\frac{\sqrt{2} + \operatorname{tg} \theta_p}{1 - \sqrt{2} \operatorname{tg} \theta_p} \right]^2 = 1,25; \quad (2)$$

$$\frac{F \frac{d\sigma}{d\Omega} (\pi^- p \rightarrow E \pi^-)}{F \frac{d\sigma}{d\Omega} (\pi^- p \rightarrow \eta \pi^-)} = 1,25; \quad (3)$$

$$(2 \cos \theta_p + \sqrt{2} \sin \theta_p) T(K^- p \rightarrow \eta Y^0) + \sqrt{3} T(K^- p \rightarrow K^- N^{*++}) = \\ = (\sqrt{2} \cos \theta_p - 2 \sin \theta_p) T(K^- p \rightarrow E Y^0), \quad (4)$$

где связь между сечением $\frac{d\sigma}{d\Omega}$ и амплитудой Т дается формулой^{/5/}
 $|T|^2 = S \frac{P_{in}}{P_{out}} \frac{d\sigma}{d\Omega} = F \frac{d\sigma}{d\Omega}$, а угол смешивания η и Е мезонов равен $\theta_p = -6,5^\circ$ ^{/1/}.

б) Соотношения, содержащие спиновую матрицу плотности

$$[F \frac{d\sigma}{d\Omega} \rho^{00}]_{K^- p \rightarrow K^{*+} N^{*++}} = [F \frac{d\sigma}{d\Omega} \rho^{00}]_{K^- p \rightarrow \rho^- Y^+}; \quad (5)$$

$$\begin{aligned}
 & [F \frac{d\sigma}{d\Omega}]_{K^0 p \rightarrow K^{*0} p} = \\
 & = [F \frac{d\sigma}{d\Omega}]_{K^+ p \rightarrow K^+ N^{*+}} + [F \frac{d\sigma}{d\Omega} (\frac{1}{24} \rho^{00} + \frac{4}{9} \rho_{33})]_{K^+ p \rightarrow K^{*+} N^{*+}} = \quad (6)
 \end{aligned}$$

$$= [F \frac{d\sigma}{d\Omega} (\frac{11}{8} \rho^{00} + \frac{8}{3} \rho_{33} - 1)]_{K^+ p \rightarrow K^{*+} N^{*+}} ;$$

$$[F \frac{d\sigma}{d\Omega} \rho^{00}]_{K^+ p \rightarrow K^{*+} N^{*+}} = 8 [F \frac{d\sigma}{d\Omega} \rho^{00}]_{K^0 p \rightarrow K^{*0} p} ; \quad (7)$$

$$\begin{aligned}
 & [F \frac{d\sigma}{d\Omega}]_{K^0 p \rightarrow \bar{K}^{*0} p} = \\
 & = \frac{1}{2} [F \frac{d\sigma}{d\Omega} (1 - \rho^{00} - 2 \rho_{33})]_{K^- p \rightarrow K^{*-} N^{*+}} + [F \frac{d\sigma}{d\Omega} \rho^{00}]_{K^- p \rightarrow \rho^- \Sigma^+} = \quad (8) \\
 & = [F \frac{d\sigma}{d\Omega}]_{K^- p \rightarrow K^- N^{*++}} + \frac{1}{3} [F \frac{d\sigma}{d\Omega} \rho^{00}]_{K^- p \rightarrow K^{*-} N^{*+}} + \frac{1}{3} [F \frac{d\sigma}{d\Omega} \rho^{00}]_{K^- p \rightarrow \rho^- \Sigma^+},
 \end{aligned}$$

$$[F \frac{d\sigma}{d\Omega} \rho^{00}]_{K^0 p \rightarrow \bar{K}^{*0} p} = [F \frac{d\sigma}{d\Omega} \rho^{00}]_{K^- p \rightarrow \rho^- \Sigma^+} ; \quad (9)$$

$$\begin{aligned}
 & 9 [F \frac{d\sigma}{d\Omega} \rho^{00}]_{\pi^+ p \rightarrow K^{*+} \Sigma^+} + 10 [F \frac{d\sigma}{d\Omega} \rho^{00}]_{K^0 p \rightarrow K^{*+} n} = \\
 & = 14 [F \frac{d\sigma}{d\Omega} \rho^{00}]_{K^+ p \rightarrow K^{*+} p} + 35 [F \frac{d\sigma}{d\Omega} \rho^{00}]_{K^0 p \rightarrow \Sigma \rightarrow K^{*0} p} ; \quad (10)
 \end{aligned}$$

$$[F \frac{d\sigma}{d\Omega} \rho^{00}]_{\pi^+ p \rightarrow \rho^+ p} = 100 [F \frac{d\sigma}{d\Omega} \rho^{00}]_{K^- p \rightarrow \rho^0 \Sigma^0} \\ (11)$$

$$= \frac{100}{27} [F \frac{d\sigma}{d\Omega} \rho^{00}]_{K^- p \rightarrow \rho^0 \Lambda} - \frac{25}{2} [F \frac{d\sigma}{d\Omega} \rho^{00}]_{K^- p \rightarrow \rho^0 \Xi^0};$$

$$\frac{1}{(\cos \theta_p - \sqrt{2} \sin \theta_p)^2} 6 [F \frac{d\sigma}{d\Omega}]_{\pi^+ p \rightarrow \eta N^{*++}} = \\ (12) \\ - \frac{16}{25} [F \frac{d\sigma}{d\Omega} \rho^{00}]_{\pi^+ p \rightarrow \rho^+ p} + [F \frac{d\sigma}{d\Omega} \rho^{00}]_{\pi^+ p \rightarrow \rho^+ N^{*+}} - \frac{3}{2} [F \frac{d\sigma}{d\Omega} \rho^{00}]_{\pi^- p \rightarrow \rho^- N^{*+}}$$

$$- \frac{48}{25} [F \frac{d\sigma}{d\Omega} \rho^{00}]_{\pi^+ p \rightarrow \rho^+ p} - 6 [F \frac{d\sigma}{d\Omega} \rho^{00}]_{\pi^- p \rightarrow \rho^0 N^{*0}} + \frac{3}{2} [F \frac{d\sigma}{d\Omega} \rho^{00}]_{\pi^- p \rightarrow \rho^- N^{*0}};$$

$$\frac{1}{(\cos \theta_p - \sqrt{2} \sin \theta_p)^2} 6 [F \frac{d\sigma}{d\Omega}]_{\pi^- p \rightarrow \eta n} + 2 [F \frac{d\sigma}{d\Omega} \rho^{00}]_{\pi^- p \rightarrow \rho^0 n} \\ (13)$$

$$= [F \frac{d\sigma}{d\Omega} \rho^{00}]_{\pi^- p \rightarrow \rho^- p} + [F \frac{d\sigma}{d\Omega} \rho^{00}]_{\pi^+ p \rightarrow \rho^+ p}.$$

Последние соотношения (11)–(13) выживают из точной симметрии x .

Приведем еще соотношения для фоторождения Е-мезона на протоне

$$\frac{F \frac{d\sigma}{d\Omega} (\gamma p \rightarrow E p)}{F \frac{d\sigma}{d\Omega} (\gamma p \rightarrow \eta p)} = 1.25; \quad (14)$$

$$\frac{F \frac{d\sigma}{d\Omega} (\gamma p \rightarrow EN^{*+})}{F \frac{d\sigma}{d\Omega} (\gamma p \rightarrow \eta N^{*+})} = 1.25. \quad (15)$$

4. При сравнении предсказаний нарушенной $SU_W(6)$ с экспериментом возникают две трудности. Первая, имеющая общий характер, связана с вопросом о выборе параметра, при одинаковом значении которого следует сравнивать квадраты матричных элементов разных процессов. Обычно /5/ сравнение производится при одинаковом энерговыделении $Q = \sqrt{s - m_3^2 - m_4^2}$ (где s – квадрат полной энергии, m_3, m_4 – массы частиц после реакции) так, чтобы не возникало неприятностей на пороге той или иной реакции. Однако такой рецепт несимметричен по начальному и конечному состояниям. Из соображений инвариантности относительно обращения времени более целесообразно проводить сравнение симметрично по начальному и конечному состояниям, например, при одинаковых значениях $\sqrt{P_{in} P_{out}}$. Тогда будет все в порядке и с обращением времени и на пороге (P_{out} обращается в нуль), а лабораторные импульсы получаются значительно более близкими друг другу, чем при равном Q .

Вторая трудность связана с коллинеарностью процесса. Так как угловые сечения известны для небольшого числа углов, то получение сечений вперед и назад методом экстраполяции неоднозначно. Можно, однако, ожидать, что связи, полученные в коллинеарной группе, не должны существенно меняться при небольших отклонениях от коллинеарности.

Переходя к сравнению с экспериментом полученных соотношений, отметим прежде всего, что в нарушенной $SU_W(6)$ нет больше соотношений анализировавшихся Джексоном /2/, которые не согласовались с экспериментом.

^{x)} Имеется в виду точная симметрия в рамках предположения (A).

специфическими данными. Нет также соотношений Джонсона-Тримана, а также соотношения (1), которые одинаково хорошо выполняются для энергий выше 1 Гэв, но сильно противоречат опыту в резонансной области энергии. Имеющиеся у нас экспериментальные данные позволяют сделать вывод, что исследуемая схема не противоречит опыту. Например, соотношение (5) выполняется в пределах ошибок, так как для рассеяния вперед при $p_K = 1,95$ Гэв/с ^{/8/}

$$\frac{d\sigma}{d\Omega} (K^- p \rightarrow K^{*-} N^{*+}) = (40 \pm 20) \frac{\text{мкб}}{\text{стэр}} , \rho^{00} = 0,43 \pm 0,14 ;$$

$$\frac{d\sigma}{d\Omega} (K^- p \rightarrow \rho^- Y^+) = (20 \pm 5) \frac{\text{мкб}}{\text{стэр}} , \rho^{00} = 0,38 \pm 0,11 .$$

Далее, из соотношения (6) можем получить неравенство на элементы матрицы плотности для K^* и N^* , рождающихся в реакции $K^+ p \rightarrow K^{*+} N^{*+}$:

$$\frac{4}{3} \cdot \rho^{00} + \frac{20}{9} \cdot \rho_{33} \geq 1 . \quad (16)$$

Эксперимент дает ^{/7,8/}

p_K	3 Гэв/с	3,5 Гэв/с	5 Гэв/с
ρ^{00}	$0,9 \pm 0,1$	$0,7 \pm 0,1$	$0,8 \pm 0,1$
ρ_{33}	$0 \pm 0,05$	$0,1 \pm 0,1$	$0,2 \pm 0,08$

Эти значения ρ^{00} и ρ_{33} удовлетворяют неравенству (16) и резко противоречат предсказаниям точной симметрии $\rho^{00} = 1/3$, $\rho_{33} = 1/4$.

Особый интерес представляют соотношения (2), (3) и (14), (15), так как из них следует, что в двухчастичных реакциях Е-мезон должен рождаться примерно так же, как и η -мезон. При этом η -мезон рождается вперед довольно часто, например, при $p_\pi = 8$ Гэв/с

$$\left. \frac{d\sigma(\pi p \rightarrow \eta N^{*++})}{dt} \right|_{t=0} = 1 \text{ мбарн} (\text{Гэв/с})^{-2} \quad /8/ .$$

Таким образом, можно думать, что анализ систем $\bar{K}K\pi$, на которые распадается Е-мезон, выявит Е-мезон в таких реакциях.

В зависимости от того, при каком параметре Q или $\sqrt{P_{in}P_{out}}$, будем сравнивать матричные элементы, получим разные сечения рождения Е-мезона и разные необходимые импульсы p_π пучка π^+ -мезонов.

p_π [Гэв/с]	p_π [Гэв/с]	$\frac{d\sigma(\pi^- p \rightarrow EN^{++})}{dt}$ _{t=0}
$\pi^+ p \rightarrow \eta N^{++}$	$\pi^+ p \rightarrow EN^{++}$	мбарн (Гэв/с) ²
$Q = 2,11$ Гэв $\sqrt{P_{in}P_{out}} = 1,81$ Гэв/с	8	11,5 9,1
	8	0,76 0,98

5. Итак, в рамках сделанного предположения (А) мы получили ряд соотношений, связывающих сечения и спиновые матрицы плотности различных процессов. Эти соотношения не противоречат имеющимся экспериментальным данным, однако, представляет интерес их дальнейшая проверка. Поэтому желательно иметь более точные угловые распределения процессов рассеяния, а также более полную информацию о спиновых матрицах плотности для квазидвухчастичных реакций. Особенно интересными представляются предсказания о сечении рождения Е-мезона в мезон-барионных соударениях: Е-мезон должен рождаться так же часто, как и η -мезон. Поиск Е-мезона в квазидвухчастичных реакциях (анализ систем $\bar{K}K\pi$ в конечном состоянии), интересный и сам по себе, позволит высказать четкие аргументы за или против $SU_W(6)$.

Авторы сердечно благодарны В.И.Огиевецкому за постановку задачи, постоянные обсуждения и помощь, а также Б.Н.Валуеву, С.Б.Герасимову, М.Маевскому, А.Пикульскому и И.В.Полубаринову за полезные дискуссии.

Л и т е р а т у р а

1. А.Н.Заславский, В.И.Огиевецкий, В.Тыбор. Письмо ЖЭТФ 6,604 (1967); Препринт ОИЯИ Р2-3391 (1967).

2. J.D.Jackson. Phys.Rev.Letters 15, 990, 1965.
3. J.C.Carter et al. Phys.Rev.Letters 15, 373, 1965.
4. V.I.Oglevetsky, I.V.Polubarinov. Preprint E2-3279,Dubna, 1967.
5. S.Meshkov, G.A.Snow, G.B.Yodh. Phys.Rev.Letters 12,87 (1964).
6. L.T.Smith, D.H.Stark, H.K.Ticho. Second Topical Conference "Resonant Particles" Ohio University, Athens, 1965,p.394.
7. M.Ferro-Luzzi et al. Nuovo Cimento 39, 417 (1965).
8. R.George et al. Nuovo Cimento 49, 9, 1967.
9. D.R.O.Morrison. Preprint CERN 66-20, 1966.

Рукопись поступила в издательский отдел
7 марта 1968 года.